

教育部高等学校  
一九七八年計算結構力学  
学术交流会论文集

第二集

大 连

一九七八年十一月

# 目 录

- 开洞剪力墙的差分方程解法 ..... 清华大学 古国纪  
有抗震墙的多层刚架在地震作用下的计算 ..... 清华大学建工系高层建筑计算组  
节理岩体内地下工程围岩应力有限元非线性分析 ..... 清华大学 张万琪，崔景浩 商业部设计院 施祥善  
柴油机活塞顶部温度场及应力场的有限元法计算 ..... 西安交通大学 叶维平 何新楷，郭干慈，童云生  
孔底应变测量法中应力系数矩阵的确定  
——有限单元法在轴对称结构分析中的应用 ..... 兰州大学 顾淑贤，王甲英  
铁路棚洞结构的优化设计 ..... 兰州大学 俞焕然，唐燮黎  
变厚度矩形板的稳定与振动 ..... 华中工学院 黄玉盈  
一维凸函数优化的一个快速的新算法 ..... 华中工学院 云天銓  
离散变量结构的最优设计 ..... 华中工学院 张维衡  
有限单元法对墙梁分析 ..... 华南工学院 罗崧发 蒋发祥，黄澄宇  
刚性道面的计算 ..... 中山大学 陈树坚  
有限元法在轧钢机一些构件计算中的应用 ..... 中山大学 陈树坚  
桨叶的耦合振动 ..... 中山大学 蔡承武 陈树辉  
用有限单元法计算三维弹性体应力时对小于  $90^{\circ}$  的任意对称面边界条件的处理 ..... 重庆大学 刘崇德、李代高，代维城  
对  $WN\ S4-8-1$  型燃气自动化工业用锅炉有限元应力分析的初步探讨 ..... 重庆锅炉厂 李长春 重庆大学 陈泽光、伊享云、刘相臣、江秉琛，高芝暉 范镜泓  
关于满应力设计的原理分析和静定、静不定结构的重量特性计算 ..... 西北工业大学 冯元生  
大型天线结构的保型优化设计 ..... 上海科学技术大学 王生洪、李志良、汪勤志、李康元、陈振华  
一个大型通用程序的设计  
——介绍平面杆系结构通用计算程序第四版 ..... 北京工业大学土建系计算结构力学教研组 袁耀明、陶振宗  
组合结构通用程序—— $JJZ3$  ..... 北京工业大学土建系计算结构力学教研组 赵超燮 陶振宗  
剪力墙结构的动力有限元分析（弹性力学平面动力问题） ..... 北京工业大学土建系计算结构力学教研组 冯福瑞  
横向铰结的四边形板弯曲单元 ..... 北京工业大学土建系道桥教研室 席振坤  
 $T$  型梁桥的有限元法分析 ..... 北京工业大学土建系 郭文渝，赵超燮 河北省交通规划设计院 肖江声  
用完全协调三角元分析简支斜板桥 ..... 北京工业大学土建系 高征銓 赵超燮 中国科学院计算中心 崔俊芝

- 谈计算结构力学 ..... 大连工学院工程力学研究所 钱令希
- 利用动态规划计算公路桥梁断面的最大内力 ..... 大连工学院工程力学研究所 钟万勰
- 线性规划在结构优化设计的一个应用及其稀疏算法 ..... 大连工学院工程力学研究所 程耿东
- 振动力学特征值问题的研究及其在构架式基础动力计算中的应用 ..... 大连工学院工程力学研究所 钟万勰，林家浩，程耿东，田玉山
- 群论在结构分析中的应用（续一）——在  $C_{nv}$  群上对称的壳体结构分析 —— 大连工学院工程力学研究所 钟万勰，裴春航
- 空腹桁架桥的结构分析（一）——空间作用 —— 大连工学院工程力学研究所 曹富新，解明雨，邹洪地
- 空腹桁架桥的结构分析（二）——内力包络图 —— 大连工学院工程力学研究所 时战，张允真
- 空腹桁架桥的结构分析（三）——节点应力分析 —— 大连工学院工程力学研究所 解明雨，张允真，邹洪地
- 使应力具有  $r^{-\frac{1}{2}}$  阶奇异等参数的充要条件 ..... 大连工学院数学教研室 劳洁声，刘秀兰
- 带有离散支承的旋转体计算 ..... 大连工学院 何穷，朱学仁

52 · 54

19

# 开洞剪力墙的差分方程解法

清华大学 古国纪

## 摘要

开洞剪力墙的分析，目前比较流行的方法是将柱列之间的横梁，用连续的剪切夹层代替，导出微分方程求出解析解。这个方法比较简单，很受欢迎。这个方法的前提是横梁刚度要比柱刚度小许多，并且横梁沿高度的分布要较密，即整个高度上层数较多。如果不符这些要求，那么这个方法的可靠性和精确性是值得探讨的。

本文不用连续剪切夹层代替横梁，仍将开洞剪力墙看成是构件构成的刚架，导出差分方程，求出解析解。当层数很大，层高和总高比趋于零时，这个解就和剪切夹层解一致。利用这个解析解可以讨论开洞剪力墙的一些内力分布的规律，并检验连续剪切夹层法的误差。

## 一、基本方程

设剪力墙简化成如图1所示的刚架，由于柱较宽，因此横梁两端有一段是刚性域。设柱和梁的截面沿整个结构高度上的各层是不变的。采用以下记号（参看图1）。

$x$ ——层号，由顶层到底层  $x=1, 2, \dots, n$ 。

$y$ ——跨号，由左端到右端各跨  $y=1, 2, \dots, n_1$ 。

柱号，由左端到右端各柱  $y=1, 2, \dots, n_1 + 1$ 。

$J_{ly}$ ——第  $y$  跨梁的截面惯性矩。

$F_{ly}$ ——第  $y$  跨梁的截面面积。

$J_y$ ——第  $y$  列柱的截面惯性矩。

$F_y$ ——第  $y$  列柱的截面面积。

$2a_y$ ——第  $y$  跨梁的净跨（或除去刚性域外的跨度）

$2C_y$ ——第  $y$  跨梁的总跨度（柱的中心距）

$h$ ——层高

$H$ ——总高度

$n$ ——总层数

$n_1$ ——总跨数

$C_{ly}, C_{ry}$ ——分别为第  $y$  跨梁在净跨中点到左端结点的距离和净跨中点到右端结点距离。

$E$ ——弹性模量

$E_x, E_y$ ——算符, 对某  $x, y$  的函数  $f(x, y)$  的作用 ( $x$  和  $y$  均为整数) 是

$$E_x f(x, y) = f(x+1, y)$$

$$E_{x-1}^{-1} f(x, y) = f(x-1, y)$$

$$E_y f(x, y) = f(x, y+1)$$

$$E_y^{-1} f(x, y) = f(x, y-1)$$

$k$ ——计算杆件剪变形的截面形状系数。

我们用力法求解, 计算中考虑了横梁的剪切变形、柱的轴向变形和剪变形, 不考虑横梁的轴向变形。

易知, 这样的体系, 每个格间将有三个多余未知力, 但我们不选择一个统一的静定基本结构。为了使力法方程简化, 我们选择不同的静定基本结构, 使每一个单位未知力的内力分布图都具有局部的性质, 并尽可能彼此正交。为此, 对任一格间  $(x, y)$  (这里  $x$  为层码,  $y$  为跨号), 选择三个单位未知力的内力如图 2 所示, 其中图 2(a) 表示第一

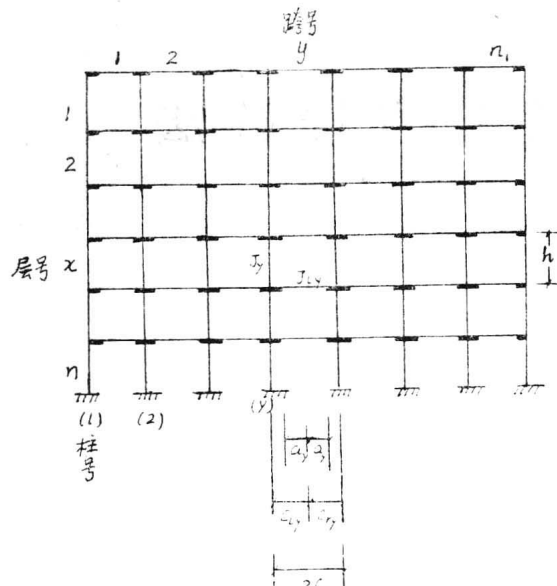


图 1

种未知力  $X_1(x, y) = 1$  相应的弯矩图, 这个弯矩图只在格间  $(x, y)$  范围内存在, 其他地方为零, 其中  $\psi_y$  是一个待定的数。和这个图相应的其他内力是: 上侧横梁有剪力  $Q_1 = +1$ , 下侧横梁  $Q_1 = -1$ , 左侧  $y$  柱有轴力  $N_1 = -1$ , 右侧  $y+1$  柱有轴力  $N_1 = +1$ 。图 2(b) 表示第二种未知力  $X_2(x, y)$ , 相应的弯矩图, 它没有相应的剪力和轴力分布。图 2(c) 表示第 3 种未知力  $X_3(x, y)$  相应的弯矩图, 和它相应的柱的剪力是左柱  $y: Q_3 = +2$ , 右柱  $y+1$  剪力  $Q_3 = -2$ 。对每一个  $(x, y)$  格间都可以选择这样三个未知力和它们的单位内力图。对于通过  $(x, y)$  格间中心点的水平线说来图 2(a)、(b) 的内力是上下对称的, 有内力地区的结构也是对称的, 而图 2(c) 内力则是上下反对称的, 因此, 求力法方程系数时, 图 2(a)、(b) 将和图 2(c) 正交。适当选择  $\psi_y$ , 则能使图 2(a) 和图 2(b) 也正交。这样则每一个格间三种内力图之间都是互相正交。

关于荷载作用下的静定基本结构内力图, 作法如下。首先, 由于不考虑横梁轴向变形,

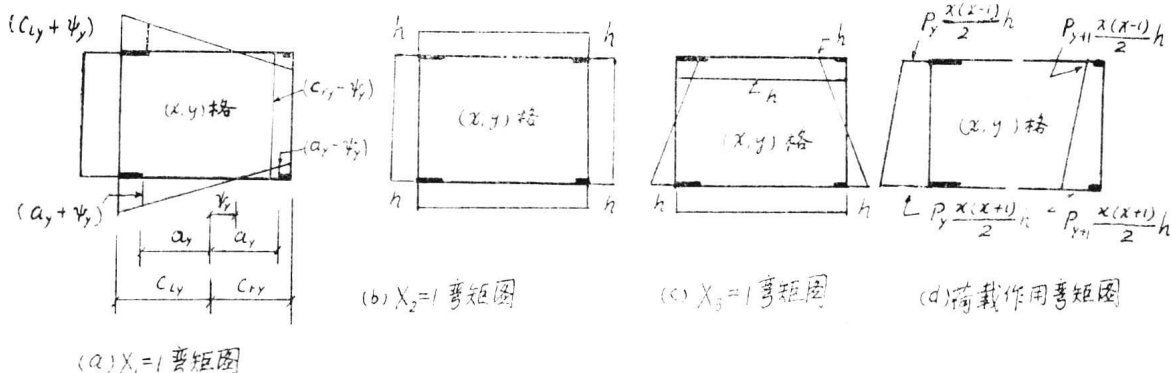


图 2

同一层内的水平荷载可以任意水平移动而不会改变其内力分布图(横梁轴力除外)。因此,可以将同一层内(例如 $x$ 层)水平荷载的总值 $P(x)$ 按各柱的惯性矩 $J_y$ 分配到各柱结点上,因此第 $y$ 列柱 $x$ 层的结点上有荷载:

$$P_y(x) = \frac{J_y}{\sum_y J_y} \cdot P(x)$$

然后,将所有横梁截断,作为基本结构,再求上述荷载作用下的内力图。图2(d)表示各层荷载相同时,即 $P_y(x) = P_y$ 时 $y$ 柱 $x$ 层的弯矩图,相应的剪力值为 $Q_p = +P_{yx}$ ,横梁上没有内力分布。

考虑 $(x, y)$ 格间三个未知力 $X_1, X_2, X_3$ 所对应的三个广义位移为零,可得原体系的力学方程,其形式如下:

$$\begin{aligned} [\delta] \begin{Bmatrix} X_1 \\ X_2 \\ X_3 \end{Bmatrix} + [\delta^{+x}] E_x \begin{Bmatrix} X_1 \\ X_2 \\ X_3 \end{Bmatrix} + [\delta^{-x}] E_x^{-1} \begin{Bmatrix} X_1 \\ X_2 \\ X_3 \end{Bmatrix} + [\delta^{+y}] E_y \begin{Bmatrix} X_1 \\ X_2 \\ X_3 \end{Bmatrix} \\ + [\delta^{-y}] E_y^{-1} \begin{Bmatrix} X_1 \\ X_2 \\ X_3 \end{Bmatrix} + \begin{Bmatrix} \Delta_{1p} \\ \Delta_{2p} \\ \Delta_{3p} \end{Bmatrix} = 0 \end{aligned} \quad (1)$$

这里 $[\delta]$ , $[\delta^{+x}]$ , $[\delta^{-x}]$ 都是 $3 \times 3$ 的矩阵,并且应当是 $y$ 的函数。 $(\delta^{+x})$ 中右上角不是幂次而是记号)。 $[\delta]$ 是格间 $(x, y)$ 内三个单位未知力引起的本格间位移。 $[\delta^{+x}]$ 是下一层的格间,即 $(x+1, y)$ 格间的三个单位未知力引起的 $(x, y)$ 格间位移。 $[\delta^{-x}]$ 是上一层格间单位未知力引起的本格间位移,而 $[\delta^{+y}]$ 、 $[\delta^{-y}]$ 则分别为右侧和左侧格间单位未知力引起的位移。 $\begin{Bmatrix} \Delta_{1p} \\ \Delta_{2p} \\ \Delta_{3p} \end{Bmatrix}$ 则是荷载引起的基本体系位移。上式表明 $(x, y)$ 格间的位移是由该格间及四周相邻格间未知力以及荷载引起的。

$[\delta]$ 的元素可由图2中(a)、(b)、(c)三图相乘而得,如前所述,由于对称性:  
 $\delta_{13} = \delta_{23} = 0$

选择 $\phi$ ,使 $\delta_{12}=0$ ,办法如下:由图2中(a)、(b)图相乘得:

$$\delta_{12} = \frac{h^2(C_{Ly} + \psi_y)}{EJ_y} - \frac{h^2(C_{ry} - \psi_y)}{EJ_{y+1}} + \frac{2a_y h \psi_y}{EJ_{ly}} \cdot 2 = 0$$

由此解出:

$$\frac{\psi_y}{h} = \frac{\frac{C_{ry}}{h} \frac{J_y}{J_{y+1}} - \frac{C_{Ly}}{h}}{\left[ 1 + \frac{J_y}{J_{y+1}} + 2 \left( \frac{2a_y J_y}{h J_{ly}} \right) \right]} \quad (2)$$

当选择 $\psi_y$ 满足上式(2)时,即有 $\delta_{12}=0$ 。

$[\delta]$ 的其他元素如下:

$$\begin{aligned} \delta_{11} &= \frac{(C_{Ly} + \psi_y)^2 h}{EJ_y} + \frac{(C_{ry} - \psi_y)^2 h}{EJ_{y+1}} + \frac{2}{3} \frac{(a_y + \psi_y)^3}{EJ_{ly}} + \frac{2}{3} \frac{(a_y - \psi_y)^3}{EJ_{ly}} \\ &+ \frac{h}{EF_y} + \frac{h}{EF_{y+1}} + \frac{k \cdot 4a}{GF_{ly}} = \alpha + \beta \frac{h^3}{EJ_y} \end{aligned}$$

$$\delta_{33} = \alpha_3 \beta \frac{h^3}{E J_y}, \quad \delta_{22} = \alpha_2 \beta \frac{h^3}{E J_y}$$

其中:

$$\beta = \frac{2a_y J_y}{h J_{Ly}}$$

$$\begin{aligned}\alpha_1 &= \frac{1}{\beta} \left[ \left( \frac{C_{Ly}}{h} + \frac{\psi_y}{h} \right)^2 + \left( \frac{C_{ry}}{h} - \frac{\psi_y}{h} \right)^2 \frac{J_y}{J_{y+1}} + \frac{J_y}{F_y h^2} \left( 1 + \frac{F_y}{F_{y+1}} \right) \right] + 2\beta_1 \\ \alpha_2 &= \left( 1 + \frac{J_y}{J_{y+1}} \right) \beta + 2 \\ \alpha_3 &= \frac{1}{3} \left( 1 + \frac{J_y}{J_{y+1}} \right) \beta + 2 + 4 \frac{kE}{G} \cdot \frac{J_y}{F_y h^2} \cdot \left( 1 + \frac{F_y}{F_{y+1}} \right) \beta \\ \beta_1 &= \frac{1}{6} + \frac{a_y^2}{h^2} \left[ \left( 1 + \frac{\psi_y}{a_y} \right)^2 + \left( 1 - \frac{\psi_y}{a_y} \right)^2 \right] + \frac{kE}{G} \cdot \frac{J_{Ly}}{F_L h^2}\end{aligned}\quad (3)$$

注意以上各量一般情形下均随 $y$ 而变。

因而 $[\delta]$ 为:

$$[\delta] = \begin{bmatrix} \alpha_1 & & & \\ & \alpha_2 & & \\ & & \beta \frac{h^3}{E J_y} & \\ & & & \alpha_3 \end{bmatrix} \quad (4)$$

由 $(x, y)$ 格间的单位内力图与下上、右左相邻格间之内力图相乘可依次得出式(1)中其他四个矩阵如下:

$$\begin{aligned}[\delta^{+x}] &= \begin{bmatrix} -\beta_1 & -\frac{\psi_y}{h} & -\frac{\psi_y}{h} \\ -\frac{\psi_y}{h} & +1 & \beta \frac{h^3}{E J_y} \\ -\frac{\psi_y}{h} & -1 & +1 \end{bmatrix} \quad \beta \frac{h^3}{E J_y} = [\beta^+] \beta \frac{h^3}{E J_y} \\ [\delta^{-x}] &= \begin{bmatrix} -\beta_1 & -\frac{\psi_y}{h} & -\frac{\psi_y}{h} \\ -\frac{\psi_y}{h} & -1 & -1 \\ -\frac{\psi_y}{h} & 1 & +1 \end{bmatrix} \quad \beta \frac{h^3}{E J_y} = [\beta^-] \beta \frac{h^3}{E J_y} \\ [\delta^{+y}] &= \begin{bmatrix} \gamma_{11}^+ & \gamma_{12}^+ & 0 \\ \gamma_{21}^+ & \gamma_{22}^+ & 0 \\ 0 & 0 & \gamma_{33}^+ \end{bmatrix} \quad E J_y \\ [\delta^{-y}] &= \begin{bmatrix} \gamma_{11}^- & \gamma_{12}^- & 0 \\ \gamma_{21}^- & \gamma_{22}^- & 0 \\ 0 & 0 & \gamma_{33}^- \end{bmatrix} \quad E J_y\end{aligned}\quad (5)$$

其中

$$\begin{aligned}
 \gamma_{11} &= \left( \frac{C_{ry}}{h} - \frac{\phi_y}{h} \right) \left( \frac{C_{ry+1}}{h} + \frac{\phi_{y+1}}{h} \right) \frac{J_y}{J_{y+1}} \\
 \gamma_{12}^+ &= \left( \frac{C_{ry}}{h} - \frac{\phi_y}{h} \right) \frac{J_y}{J_{y+1}} \\
 \gamma_{21}^+ &= \left( \frac{C_{ry+1}}{h} + \frac{\phi_{y+1}}{h} \right) \frac{J_y}{J_{y+1}} \\
 \gamma_{22}^+ &= -\frac{J_y}{J_{y+1}} \\
 \gamma_{33}^+ &= -\frac{1}{3} \frac{J_y}{J_{y+1}} \quad (6) \\
 \gamma_{11}^- &= \left( \frac{C_{ry}}{h} + \frac{\phi_y}{h} \right) \left( \frac{C_{ry+1}}{h} - \frac{\phi_{y+1}}{h} \right) \\
 \gamma_{12}^- &= \left( \frac{C_{ry}}{h} + \frac{\phi_y}{h} \right) \\
 \gamma_{21}^- &= \left( \frac{C_{ry+1}}{h} - \frac{\phi_{y+1}}{h} \right) \\
 \gamma_{22}^- &= -1 \\
 \gamma_{33}^- &= -\frac{1}{3}
 \end{aligned}$$

设各层荷载均相等, 第 $y$ 个柱子上结点荷为 $P_y$ 则荷载引起的位移为:

$$\Delta_{1P} = (C_{ry} + \phi_y) h^2 \cdot \frac{P_y}{2} x^2 \cdot \frac{1}{E J_y} + (C_{ry+1} - \phi_y) h^2 \frac{P_{y+1}}{2} x^2 \cdot \frac{1}{E J_{y+1}}$$

注意前述规定: 同层荷载按各柱 $J$ 之比分子于结点, 故

$$\frac{P_y}{J_y} = \frac{P}{\Sigma_y J_y}$$

上式可化为

$$\begin{aligned}
 \Delta_{1P} &= \frac{h^2 P_x^2}{2 E \Sigma_y J_y} [(C_{ry} + \phi_y) + (C_{ry+1} - \phi_y)] = \frac{h^2 P_x^2}{E \Sigma_y J_y} C_y = \\
 &= \left( \frac{J_y}{\Sigma_y J_y} \cdot \frac{C}{h} \cdot \frac{P}{\beta} x^2 \right) \cdot \beta \frac{h^3}{E J_y} = \delta_{1P} \cdot \beta \frac{h^3}{E J_y}
 \end{aligned}$$

类似地求出:

$$\begin{aligned}
 \Delta_{2P} &= 0 \\
 \Delta_{3P} &= \left\{ \frac{2kE}{G} \left( \frac{J_y}{\Sigma_y J_y} \right) \left( \frac{J_y}{F_y h^2} - \frac{J_{y+1}}{F_{y+1} h^2} \right) \frac{P}{\beta} x \right\} \cdot \beta \frac{h^3}{E J_y} = \delta_{3P} \cdot \beta \frac{h^3}{E J_y} \quad (8)
 \end{aligned}$$

$$\left\{ \begin{array}{c} \Delta_{1P} \\ \Delta_{2P} \\ \Delta_{3P} \end{array} \right\} = \begin{array}{c} \frac{J_y}{\Sigma_y J_y} \cdot \frac{C_y}{h} - \frac{1}{\beta} P x^2 \\ 0 \\ \frac{2kE}{G} \frac{J_y}{\Sigma_y J_y} \left( \frac{J_y}{F_y h^2} - \frac{J_{y+1}}{F_{y+1} h^2} \right) \frac{1}{\beta} P x \end{array} \quad \beta \frac{h^3}{E J_y} = \left\{ \begin{array}{c} \delta_{1P} \\ \delta_{2P} \\ \delta_{3P} \end{array} \right\} \beta \frac{h^3}{E J_y} \quad (9)$$

方程(1)即有若干列孔洞的剪力墙的基本方程,其中系数和自由项矩阵如(5)、(9)所示。下面将分别就不同情况讨论问题的解法。

## 二、有单列孔洞的剪力墙

考虑有单列孔洞的(即单跨、双肢的) $n$ 层高的剪力墙,基本方程(1)中左右邻孔洞的未知力项不出现,简化成:

$$[\delta][X] + [\delta^{+x}]E_x[X] + [\delta^{-x}]E_x^{-1}[X] + \{\Delta_p\} = 0$$

其中:

$$[X] = \begin{Bmatrix} X_1 \\ X_2 \\ X_3 \end{Bmatrix}, \quad \{\Delta_p\} = \begin{Bmatrix} \Delta_{1p} \\ \Delta_{2p} \\ \Delta_{3p} \end{Bmatrix} \quad (10)$$

上式除以因数  $\beta \frac{h^3}{EJ_1}$ , (注意,在单列孔场合,跨号 $\gamma$ 只取1因此  $\beta = \frac{2a_1J_1}{hJ_{11}}$ ,  $\{X\}$ 只是层号 $x$ 的函数),得到:

$$[\alpha][X] + [\beta^+]E_x[X] + [\beta^-]E_x^{-1}[X] + \{\delta_p\} = 0 \quad (11)$$

其中  $[\alpha]$ ,  $[\beta^+]$ ,  $[\beta^-]$  如(4)、(5)式所示,即( $\gamma=1$ )

$$\begin{aligned} [\alpha] &= \begin{bmatrix} \alpha_1 & & \\ & \alpha_2 & \\ & & \alpha_3 \end{bmatrix}, \quad [\beta^+] = \begin{bmatrix} -\beta_1 & -\frac{\phi_1}{h} & -\frac{\phi_1}{h} \\ -\frac{\phi_1}{h} & -1 & 1 \\ \dots & \dots & \dots \\ -\frac{\phi_1}{h} & -1 & 1 \end{bmatrix}, \\ [\beta^-] &= \begin{bmatrix} -\beta_1 & -\frac{\phi_1}{h} & -\frac{\phi_1}{h} \\ -\frac{\phi_1}{h} & -1 & -1 \\ \dots & \dots & \dots \\ \frac{\phi_1}{h} & 1 & 1 \end{bmatrix}, \end{aligned} \quad (11.a)$$

$\{\delta_p\}$ 由(9)式得出如下:

$$\{\delta_p\} = \begin{Bmatrix} \delta_{1p} \\ \delta_{2p} \\ \delta_{3p} \end{Bmatrix} = \begin{Bmatrix} \frac{J_1}{\Sigma_y J_y} \frac{C_1}{h} \frac{1}{\beta} P & 0 \\ 0 & 0 \\ 0 & \frac{2kE}{G} \frac{J_1}{\Sigma_y J_y} \left( \frac{J_1}{F_1 h^2} - \frac{J_2}{F_2 h^2} \right) \frac{1}{\beta} P \end{Bmatrix} \quad (11.b)$$

上式是就各层结点荷载相等情形而得出的公式。较一般情形可设  $\{\delta_p\}$  包含有  $x^2$ ,  $x^1$ ,  $x^0$  等项,写成:

$$\{\delta_p\} = \{\delta_p^{(2)}\}x^2 + \{\delta_p^{(1)}\}x + \{\delta_p^{(0)}\} \quad (11.c)$$

下面分两种情形求解 (i) 两肢不等情形, (ii) 两肢相等, 即对称情形。

(i) 两肢不等情形

先求方程 (11) 的特解, 设其中自由项有 (11.c) 的形式, 取解答形式如下:

$$\{X\} = \{C^{(2)}\}x^2 + \{C^{(1)}\}x + \{C^{(0)}\}$$

其中:

$$\{C^{(i)}\} = \begin{Bmatrix} C_1^{(i)} \\ C_2^{(i)} \\ C_3^{(i)} \end{Bmatrix} \quad (i=1,2,3) \quad (12)$$

待定。

将 (12) 和 (11.c) 代入基本方程 (11), 注意:

$$E_v^{\pm 1}\{X\} = \{C^{(2)}\}(x \pm 1)^2 + \{C^{(1)}\}(x \pm 1) + \{C^{(0)}\} = \{C^{(2)}\}x^2 + (\{C^{(1)}\} \pm 2\{C^{(2)}\})x + (\{C^{(0)}\} \pm \{C^{(1)}\} + \{C^{(2)}\})$$

代入后, 按  $x$  同幂次项归并, 并令各  $x$  幂次项的系数为零, 可得以下各方程:

由  $x^2$  系数得:

$$([\alpha] + [\beta^+] + [\beta^-])\{C^{(2)}\} + \{\delta_p^{(2)}\} = 0 \quad (a)$$

由  $x^1$  系数得:

$$([\alpha] + [\beta^+] + [\beta^-])\{C^{(1)}\} + ([\beta^+] - [\beta^-])2 \cdot \{C^{(2)}\} + \{\delta_p^{(1)}\} = 0 \quad (b)$$

由  $x^0$  系数得:

$$([\alpha] + [\beta^+] + [\beta^-])\{C^{(0)}\} + ([\beta^+] - [\beta^-])\{C^{(1)}\} + ([\beta^+] + [\beta^-]) \cdot \{C^{(2)}\} + \{\delta_p^{(0)}\} = 0 \quad (c)$$

注意

$$\begin{aligned} [\alpha] + [\beta^+] + [\beta^-] &= \begin{vmatrix} \alpha_1 - 2\beta_1 & -2\frac{\phi_1}{h} & 0 \\ -2\frac{\phi_1}{h} & \alpha_2 - 2 & 0 \\ 0 & 0 & \alpha_3 + 2 \end{vmatrix} \\ [\beta^+] + [\beta^-] &= \begin{vmatrix} -2\beta_1 & -2\frac{\phi_1}{h} & 0 \\ -2\frac{\phi_1}{h} & -2 & 0 \\ 0 & 0 & +2 \end{vmatrix} \\ [\beta^+] - [\beta^-] &= \begin{vmatrix} 0 & 0 & 2 \\ -2\frac{\phi_1}{h} & -2 & 0 \end{vmatrix} \end{aligned}$$

则容易推出方程 (a)、(b)、(c) 都分为两组:

$$\begin{vmatrix} \alpha_1 - 2\beta_1 & -2\frac{\phi_1}{h} \\ -2\frac{\phi_1}{h} & \alpha_2 - 2 \end{vmatrix} \begin{Bmatrix} C_1^{(2)} \\ C_2^{(2)} \end{Bmatrix} + \begin{Bmatrix} \delta_{1P}^{(2)} \\ \delta_{2P}^{(2)} \end{Bmatrix} = 0$$

$$(\alpha_3 + 2)C_3^{(2)} + \delta_{3P}^{(2)} = 0 \quad (13.a)$$

$$\begin{vmatrix} \alpha_1 - 2\beta_1 - 2\frac{\phi_1}{h} & C_1^{(1)} \\ -2\frac{\phi_1}{h} & \alpha_2 - 2 \end{vmatrix} \begin{Bmatrix} C_1^{(1)} \\ C_2^{(1)} \end{Bmatrix} + \begin{Bmatrix} 2\frac{\phi_1}{h} \\ 2 \end{Bmatrix} 2C_3^{(2)} + \begin{Bmatrix} \delta_{1P}^{(1)} \\ \delta_{2P}^{(1)} \end{Bmatrix} = 0$$

$$(\alpha_3 + 2)C_3^{(1)} + \left( -4\frac{\phi_1}{h} C_1^{(2)} - 4C_2^{(2)} + \delta_{3P}^{(1)} \right) = 0 \quad (13.b)$$

$$\begin{vmatrix} \alpha_1 - 2\beta_1 - 2\frac{\phi_1}{h} & C_1^{(0)} \\ -2\frac{\phi_1}{h} & \alpha_2 - 2 \end{vmatrix} \begin{Bmatrix} C_1^{(0)} \\ C_2^{(0)} \end{Bmatrix} + \begin{Bmatrix} 2\frac{\phi_1}{h} \\ 2 \end{Bmatrix} C_3^{(1)} +$$

$$+ \begin{vmatrix} -2\beta_1 & C_1^{(2)} \\ -2 & C_2^{(2)} \end{vmatrix} \begin{Bmatrix} \delta_{1P}^{(0)} \\ \delta_{2P}^{(0)} \end{Bmatrix} = 0$$

$$(\alpha_3 + 2)C_3^{(0)} + \left( -2\frac{\phi_1}{h} C_1^{(1)} - 2C_2^{(1)} + 2C_3^{(2)} + \delta_{3P}^{(0)} \right) = 0 \quad (13.c)$$

由上述三组式子很容易求出所有C值。由(13.a)求 $C_i^{(2)}$ ( $i=1,2,3$ )，由(13.b)求 $C_i^{(1)}$ ( $i=1,2,3$ )，由(13.c)求 $C_i^{(0)}$ ( $i=1,2,3$ )。

当各层结点水平荷载相等，每层总值为 $P$ 时， $\{\delta_P\}$ 如(11.b)所示，代入(13)诸式，求出的C值如下：

$$\begin{Bmatrix} C_1^{(2)} \\ C_2^{(2)} \end{Bmatrix} = \begin{Bmatrix} -P \frac{J_1}{\Sigma_y J_y} \frac{C_1}{h} (\alpha_2 - 2) \cdot \frac{1}{\beta} \cdot \frac{1}{\Delta} \\ -P \frac{J_1}{\Sigma_y J_y} \frac{C_1}{h} \left( \frac{2\phi_1}{h} \right) \frac{1}{\beta} \cdot \frac{1}{\Delta} \end{Bmatrix}$$

$$C_3^{(2)} = 0$$

$$\begin{Bmatrix} C_1^{(1)} \\ C_2^{(1)} \end{Bmatrix} = 0$$

$$C_3^{(1)} = \frac{1}{(\alpha_3 + 2)} \left( 4\frac{\phi_1}{h} C_1^{(2)} + 4C_2^{(2)} - \frac{2kE}{G} \frac{J_1}{\Sigma_y J_y} \left( \frac{J_1}{F_1 h^2} - \frac{J_2}{F_2 h^2} \right) \cdot \frac{P}{\beta} \right) \quad (14)$$

$$\begin{Bmatrix} C_1^{(0)} \\ C_2^{(0)} \end{Bmatrix} = \begin{Bmatrix} \frac{1}{\Delta} \left( -f(\alpha_2 - 2) - g\left( 2\frac{\phi_1}{h} \right) \right) \\ \frac{1}{\Delta} \left( -f\left( 2\frac{\phi_1}{h} \right) - g(\alpha_1 - 2\beta_1) \right) \end{Bmatrix}$$

$$C_3^{(0)} = 0$$

其中

$$\Delta \equiv (\alpha_1 - 2\beta_1)(\alpha_2 - 2) - 4 \left( \frac{\psi_1}{h} \right)^2$$

$$f \equiv -2\beta_1 C_1^{(2)} - 2 \frac{\psi_1}{h} C_1^{(3)} + 2 \frac{\psi_1}{h} C_3^{(1)}$$

$$g \equiv -2 \frac{\psi_1}{h} C_1^{(2)} - 2 C_1^{(3)} + 2 C_3^{(1)}$$

非齐次方程 (11) 的特解为:

$$\left. \begin{array}{l} N_1 = C_1^{(2)} x^2 + C_1^{(3)} \\ N_2 = C_2^{(2)} x^2 + C_2^{(3)} \\ N_3 = C_3^{(1)} x \end{array} \right\} \quad (15)$$

下面求基本方程 (11) 的齐次方程解、设齐次方程解为:

$$\{N\} = \left\{ \begin{array}{c} B_1 \\ B_2 \\ B_3 \end{array} \right\} \zeta^x = \{B\} \zeta^x \quad (16)$$

其中  $\zeta$  为常数, 待定,  $\{B\}$  为系数。代入 (11) 的齐次式得

$$(\zeta \alpha_1 + [\beta_1^+]\zeta + [\beta_1^-]\zeta^{-1})\{B\} = 0$$

或者写成

$$\begin{aligned} (\alpha_1 - \beta_1 R) &+ \frac{\psi_1}{h} R - \frac{\psi_1}{h} R \\ &- \frac{\psi_1}{h} R \quad (\alpha_2 - R) - R \quad \left\{ \begin{array}{c} B_1 \\ B_2 \\ B_3 \end{array} \right\} = 0 \\ &- \frac{\psi_1}{h} R \quad -R \quad (\alpha_3 + R) \end{aligned} \quad (16)$$

其中

$$R \equiv \zeta + \zeta^{-1}, \quad R' \equiv \zeta - \zeta^{-1} \quad (16.a)$$

(16) 是三个线性方程联立, 从其中第 1 式减去第 2 式与  $\frac{\psi_1}{h}$  的乘积, 即  $(16.1) - \frac{\psi_1}{h}(16.2)$ ,

得:

$$\left( \alpha_1 - \beta_1 R + \left( \frac{\psi_1}{h} \right)^2 R \right) B_1 - \alpha_2 \frac{\psi_1}{h} B_2 = 0$$

$$B_2 = \frac{\alpha_1 - \left( \beta_1 - \frac{\psi_1^2}{h^2} \right) R}{\left( \alpha_2 - \frac{\psi_1}{h} \right)} B_1 \quad (\psi_1 \neq 0) \quad (17.a)$$

代回 (16.1), (16.3) 得到:

$$\left[ \alpha_1 - \left( \beta_1 + \frac{\alpha_1}{\alpha_2} \right) R + \frac{1}{\alpha_2} \left( \beta_1 - \frac{\psi_1^2}{h^2} \right) R^2 \right] B_1 + \frac{\psi_1}{h} R B_3 = 0 \quad (17.b)$$

$$\left[ - \left( \frac{\psi_1^2}{h^2} + \frac{\alpha_1}{\alpha_2} \right) R + \frac{1}{\alpha_2} \left( \beta_1 - \frac{\psi_1^2}{h^2} \right) R^2 \right] B_1 + \frac{\psi_1}{h} (\alpha_3 + R) \beta_3 = 0$$

若  $B_1, B_3$  不全为零, 则由上式  $B_1, B_3$  的系数行列式为零, 得到如下的关于  $R$  的方程, 其中利用了恒等关系:  $R^2 = R^2 - 4$  以消去  $R'$ :

$$a_2 R^2 + a_1 R + a_0 = 0 \quad (18)$$

其中

$$\begin{aligned} a_0 &= \alpha_1 \alpha_3 - 4 \left( \frac{\alpha_1}{\alpha_2} + \frac{\psi_1^2}{h^2} \right) \\ a_1 &= -\alpha_3 \left( \beta_1 + \frac{\alpha_1}{\alpha_2} \right) + \alpha_1 + 4 - \frac{1}{\alpha_2} \left( \beta_1 - \frac{\psi_1^2}{h^2} \right) \\ a_2 &= \left( \frac{\alpha_3}{\alpha_2} - 1 \right) \left( \beta_1 - \frac{\psi_1^2}{h^2} \right) \end{aligned} \quad (19)$$

由 (18) 可求出  $R$  的两个根:

$$R_1 = -\frac{-a_1 + \sqrt{a_1^2 - 4a_0a_2}}{2a_2}, \quad R_2 = -\frac{-a_1 - \sqrt{a_1^2 - 4a_0a_2}}{2a_2} \quad (20)$$

代回 (16a), 可求出四个  $\zeta$  值:

$$\begin{aligned} \zeta_1 &= \frac{R_1 \pm \sqrt{R_1^2 - 4}}{2}, \quad \zeta_2 = \zeta_1^{-1} \\ \zeta_3 &= \frac{R_2 \pm \sqrt{R_2^2 - 4}}{2}, \quad \zeta_4 = \zeta_3^{-1} \end{aligned} \quad (21)$$

$\zeta_1$  式中+、-号应取其使  $|\zeta_1| \leq 1$  者,  $\zeta_3$  中+、-号也应使  $|\zeta_3| \leq 1$ 。

将  $\zeta_j (j=1, 2, \dots, 4)$  代回 (17.a) (17.b) 可求出 4 组  $B_{1j}, B_{2j}, B_{3j}$  的相对值:

$$\begin{aligned} B_{2j} &= \frac{1}{\left( \frac{\psi_1}{h} \alpha_2 \right)} \left[ \alpha_1 - \left( \beta_1 - \frac{\psi_1^2}{h^2} \right) (\zeta_j + \zeta_j^{-1}) \right] B_{1j} \quad (j=1 \dots 4) \\ B_{3j} &= \frac{(-1)}{\left( \frac{\psi_1}{h} \right) (\zeta_j - \zeta_j^{-1})} \left[ \alpha_1 - \left( \beta_1 + \frac{\alpha_1}{\alpha_2} \right) (\zeta_j + \zeta_j^{-1}) + \right. \\ &\quad \left. + \frac{1}{\alpha_2} \left( \beta_1 - \frac{\psi_1^2}{h^2} \right) (\zeta_j + \zeta_j^{-1})^2 \right] B_{1j} \quad (j=1 \dots 4) \end{aligned} \quad (22)$$

可以取  $B_{1j}=1, (j=1 \dots 4)$ , 从而得出  $B_{ij}$  的确定数值, 齐次方程 (11) 的解, 可由 4 个  $\zeta_j (j=1, \dots, 4)$  及相应的  $B_{ij}$ , 按 (d) 式形成 4 个解, 对他们作线性组合并叠加非齐次式特解 (15) 得全解为 (各层结点荷载相同情形):

$$\begin{aligned} X_1 &= \sum_{j=1}^4 A_j B_{1j} \zeta_j^x + C_1^{(2)} x^2 + C_1^{(0)} \\ X_2 &= \sum_{j=1}^4 A_j B_{2j} \zeta_j^x + C_2^{(2)} x^2 + C_2^{(0)} \\ X_3 &= \sum_{j=1}^4 A_j B_{3j} \zeta_j^x + C_3^{(1)} x \end{aligned} \quad (23)$$

其中  $A_j (j=1, \dots, 4)$  是 4 个常系数, 将由边界条件确定。

下面讨论边界条件。

对单列孔洞的剪力墙，我们将有顶层和底层两种边界条件。对多列孔洞的剪力墙除顶层和底层的条件外，还可有左边跨和右边跨两种条件。顶层和底层的条件对多跨（多列孔洞）情形和单跨情形是一样的，这里就统一按多跨情形讨论一下。

在顶层，即  $x=1$  的第  $y$  跨格间，列出力法方程，将具有如下形式：

$$[\delta] \begin{Bmatrix} X_1 \\ X_2 \\ X_3 \end{Bmatrix} + [\delta^{+x}] E_x \begin{Bmatrix} X_1 \\ X_2 \\ X_3 \end{Bmatrix} + [\delta^{+y}] E_y \begin{Bmatrix} X_1 \\ X_2 \\ X_3 \end{Bmatrix} + [\delta^{-y}] E_y^{-1} \begin{Bmatrix} X_1 \\ X_2 \\ X_3 \end{Bmatrix} + \begin{Bmatrix} \Delta_{1p} \\ \Delta_{2p} \\ \Delta_{3p} \end{Bmatrix} = 0 \quad (x=1)$$

这个方程比基本方程 (1) 少一项  $[\delta^{+x}] E_x \begin{Bmatrix} X_1 \\ X_2 \\ X_3 \end{Bmatrix}$ ，因此从基本方程 (1) 减去上式，即得边世条件为：

$$[\delta^{-x}] E_x^{-1} \begin{Bmatrix} X_1 \\ X_2 \\ X_3 \end{Bmatrix} = 0 \quad (x=1)$$

由于  $[\delta^{-x}]$  中 2,3 两行元素相同，因此上式只给出两个独立方程而不是三个方程，由上式前两个式子可解出二条件：

$$\left. \begin{array}{l} E_x^{-1} X_1 = 0 \\ E_x^{-1} X_3 + E_x^{-1} X_2 = 0 \end{array} \right\} \quad (x=1) \quad (24.a)$$

这就是  $x=1$  顶层上的两个边界条件。

在底层即  $x=n$  的第  $y$  跨格间，列出力法方程，将具有如下形式：

$$[\delta'] \begin{Bmatrix} X_1 \\ X_2 \\ X_3 \end{Bmatrix} + [\delta^{-x}] E_x^{-1} \begin{Bmatrix} X_1 \\ X_2 \\ X_3 \end{Bmatrix} + [\delta^{+y}] E_y \begin{Bmatrix} X_1 \\ X_2 \\ X_3 \end{Bmatrix} + [\delta^{-y}] E_y^{-1} \begin{Bmatrix} X_1 \\ X_2 \\ X_3 \end{Bmatrix} + \begin{Bmatrix} \Delta_{1p} \\ \Delta_{2p} \\ \Delta_{3p} \end{Bmatrix} = 0 \quad (x=n)$$

其中

$$[\delta'] = [\delta] - [\Delta \delta]$$

$$\beta_1 = \frac{\phi_y}{h} - \frac{\phi_y}{h}$$

$$[\Delta \delta] = \begin{matrix} \frac{\phi_y}{h} & 1 & 1 & \beta \frac{h^3}{E J_y} \end{matrix}$$

$$\begin{matrix} \frac{\phi_y}{h} & 1 & 1 \end{matrix}$$

在  $[\delta']$  中比  $[\delta]$  少一个  $[\Delta \delta]$  是由于底层和其他层比少一个下侧的梁。将基本方程 (1) 减去上述方程即得

$$[\delta^{+x}] E_x \begin{Bmatrix} X_1 \\ X_2 \\ X_3 \end{Bmatrix} + [\Delta \delta] \begin{Bmatrix} X_1 \\ X_2 \\ X_3 \end{Bmatrix} = 0 \quad (x=n)$$

由于  $[\delta^{+x}]$  的 2,3 两行元素相同， $[\Delta \delta]$  也有这特点，所以上式只给出两个独立方程，简化得

$$\left. \begin{array}{l} (E_x - 1) X_1 = 0 \\ (E_x - 1) X_2 - (E_x + 1) X_3 = 0 \end{array} \right\} \quad (x=n) \quad (24.b)$$

这就是底层的两个边界条件。

现在我们共有边界条件(24.a)和(24.b)4个方程，因此，可以确定解答(23)中4个常数 $A_j(j=1\cdots 4)$ 。

应当指出，当 $|\zeta_1| \ll 1, |\zeta_3| \ll 1$ 时，齐次式解答中1、3两项将主要代表上部边界影响；而2、4两项，则将主要代表底部边界的影响。这时可作如下的简化：将2、4两项中 $A_j\zeta_j^x$  $(j=2, 4)$ 改成

$$A_j\zeta_j^{(p+1)-x} = (A_j\zeta_j^{n+1})\zeta_j^{-x} = \mathbf{A}_j\zeta_j^{-x} \quad (j=2, 4)$$

其中 $\mathbf{z}$ 是以底层为1向上编码的层号， $\mathbf{z}=(n+1)-x$ ，而 $\mathbf{A}_j$ 则为新的常数。由于 $\zeta_j(j=2, 4)$ 分别是 $\zeta_j(j=1, 3)$ 的倒数，因此 $|\zeta_j| \gg 1(j=2, 4)$ ，当层数 $n$ 足够大时 $\zeta_j^{-x}(j=2, 4)$ 在顶层将变得很小，因此在列出上端边界条件(24.a)时，可舍去齐次解中2、4两项，由(24.a)两方程即可解出 $A_1, A_3$ 两常数。同理，在列出下端边界条件时，可舍去1、3两项，由(24b)两方程确定 $\mathbf{A}_2, \mathbf{A}_4$ 两常数。简化解为：

$$\left. \begin{aligned} X_1 &= \sum_{j=1,3} A_j B_{1j} \zeta_j^x + \sum_{j=2,4} \mathbf{A}_j B_{1j} \zeta_j^{-x} + C_1^{(x)} x^2 + C_1^{(0)} \\ X_2 &= \sum_{j=1,3} A_j B_{2j} \zeta_j^x + \sum_{j=2,4} \mathbf{A}_j B_{2j} \zeta_j^{-x} + C_2^{(x)} x^2 + C_2^{(0)} \\ X_3 &= \sum_{j=1,3} A_j B_{3j} \zeta_j^x + \sum_{j=2,4} \mathbf{A}_j B_{3j} \zeta_j^{-x} + C_3^{(x)} x \end{aligned} \right\} \quad (24)$$

在确定了未知力 $X_i$ 之后，就可由 $X_i$ 与相应的单位内力图相乘，再叠加荷载在基本法构上的内力图，即可得结构的最后内力图，例如单跨，各层结点荷载均为 $P$ 的情形，第 $x$ 层1柱柱顶和柱底的弯矩为：

$$M_{\text{顶}}(x) = \frac{P J_1 h}{\Sigma_y J_y} \cdot \frac{x(x \mp 1)}{2} + (C_{L1} + \phi_1) X_1 \pm h X_2 \mp h X_3 \quad (25)$$

2柱则为：

$$M_{\text{底}}(x) = \frac{P J_2 h}{\Sigma_y J_y} \cdot \frac{x(x \mp 1)}{2} + (C_{r1} - \phi_1) X_1 - h X_2 \pm h X_3$$

上式确定的弯矩是当柱的左侧受拉时为正，荷载 $P$ 向右为正。

(ii) 两肢相等情形。当两肢相等时，结构左右对称，当荷载为水平荷载时，则荷载本身为反对称的。因此，由结构力学可以立即判断 $X_i$ 应为反对称的，即 $\phi_1=0$ ，而且对称性的内力 $X_2=X_3=0$ 。这点也可由前边导出的方程推断。事实上，这时，我们有

$$C_{ry}=C_{Ly}=C \quad (y=1)$$

$$J_y=J_{y+1}=J_1 \quad (y=1)$$

由(2)就得到 $\phi_1=0$ 。由于 $\phi_1=0$ ，基本方程(11)中 $X_1$ 和 $X_2, X_3$ 分离，第一式只包含 $X_1$ ，第二、三式则只包含 $X_2, X_3$ ， $\{\Delta_P\}$ 中只有 $\Delta_{1P} \neq 0$ ，而 $\Delta_{2P}=\Delta_{3P}=0$ ；这就导致 $X_2=X_3=0$ 。致 $X_2=X_3=0$ 。因此只需要考虑(11)中第一式，它退化成为下形式：

$$\alpha_1 X_1 - \beta_1 E_x X_1 - \beta_1 E_x^{-1} X_1 + \delta_{1P} = 0$$

这个式子可简化为

$$\frac{\alpha_1}{\beta_1} X_1 - (E_x + E_x^{-1}) X_1 + \frac{\delta_{1P}}{\beta_1} = 0 \quad (e)$$

因为只有一跨，为了简化，以下 $a_y, J_y, C_y \dots$ 等的下标 $y(y=1)$ 均省略，由(3)式得：

$$\beta = \frac{2a/J}{hJ_t}$$

$$\beta_1 = \frac{1}{3} - \frac{a^2}{h^2} + \frac{kEJ_t}{GF_t h^2}$$

$$\alpha_1 = \frac{2}{\beta_1} + \frac{C^2}{h^2} + \frac{J}{Fh^2} + 2\beta_1$$

由此得到:

$$\frac{\alpha_1}{\beta_1} = 2 + \frac{3hD_t}{J} \left[ 1 + \frac{J}{Fc^2} \right] = 2 + \frac{\alpha_0^2}{n^2}$$

其中:

$$D_t = \frac{J_t C^2}{a^3} \left( \frac{1}{1 + \frac{3EJk}{GF_t a^2}} \right), \quad \alpha_0 = n \sqrt{\frac{3hD_t}{J} \left[ 1 + \frac{J}{Fc^2} \right]} \quad (26)$$

对各层荷载均为  $P$  的情形, 由 (8) 得到:

$$\frac{\delta_{1P}}{\beta_1} = \frac{EJ}{\beta_1 \beta h^3} \Delta_{1P} = \frac{EJ}{\beta_1 \beta h^3}, \quad \frac{h^2 P x^2 C}{2EJ} = \frac{3D_t h^2 P}{4J C} x^2$$

方程 (e) 化为:

$$\left( 2 + \frac{\alpha_0^2}{n^2} \right) N_1 - (E_x + E_{x^{-1}}) N_1 + \frac{3D_t h^2 P}{4J C} x^2 = 0 \quad (f)$$

边界条件为:

$$\begin{cases} E_x^{-1} N_1 = 0 & (x=1) \\ (E_x - 1) N_1 = 0 & (x=n) \end{cases} \quad (g)$$

为了和剪切夹层方法的解对比, 将上述方程中未知函数  $N_1$  变成  $m = N_1 C$ , 为此, 用  $c$  乘 (f) 和 (g), 变成

$$\begin{aligned} & \left( 2 + \frac{\alpha_0^2}{n^2} \right) m - (E_x + E_{x^{-1}}) m + \frac{3D_t h^2 P}{4J} x^2 = 0 \\ & E_x^{-1} m = 0 \quad (x=1) \\ & (E_x - 1) m = 0 \quad (x=n) \end{aligned} \quad (27)$$

(27) 的解如下: 由下式定  $\beta_0$ :

$$ch \beta_0 = 1 + \frac{1}{2} \frac{\alpha_0^2}{n^2} \quad (28)$$

(27) 的解答为:

$$\begin{aligned} m &= \frac{Q_0 H}{2} \cdot \frac{1}{\left[ 1 + \frac{J}{Fc^2} \right]} \left\{ \left( -\frac{1}{\alpha_0^2} - \frac{sh \left[ (\beta_0 n) \left( 1 + \frac{1}{2n} \right) \right]}{ch \left[ (\beta_0 n) \left( 1 + \frac{1}{2n} \right) \right]} \right. \right. \\ &+ \left. \left. \frac{1 + \frac{1}{2n}}{2n sh \left[ (\beta_0 n) \left( 1 + \frac{1}{2n} \right) \right]} \cdot ch \left[ (\beta_0 n) \left( 1 + \frac{1}{2n} \right) \right] \right) sh \left[ (\beta_0 n) \frac{x}{n} \right] \right\} \\ &+ \frac{1}{\alpha_0^2} ch \left[ (\beta_0 n) \frac{x}{n} \right] - \left( \frac{1}{2} - \frac{x^2}{n^2} + \frac{1}{\alpha_0^2} \right) \end{aligned} \quad (29)$$

其中

$$Q_0 = Pn, \quad H = hn$$

当  $\alpha_0$  保持为常数,  $n \rightarrow \infty$  时, 由 (28) 可得

$$\beta_0 n \rightarrow \alpha_0$$

这时解答 (29) 变成:

$$m = \frac{Q_0 H}{2} \left[ \frac{1}{1 + \frac{J}{FC^2}} \right] \cdot \left\{ \left( -\frac{1}{\alpha_0^2} - \frac{sh \alpha_0}{ch \alpha_0} + \frac{1}{\alpha_0 ch \alpha_0} \right) sh \left( \alpha_0 \frac{x}{n} \right) + \right. \\ \left. + \frac{1}{\alpha_0^2} ch \left( \alpha_0 \frac{x}{n} \right) - \left( \frac{1}{2} \left( \frac{x}{n} \right)^2 + \frac{1}{\alpha_0^2} \right) \right\} \quad (30)$$

这个结果和剪切夹层结果一致。显然, 当  $\frac{\alpha_0}{n}$  不很小时,  $\beta_0 n$  和  $\alpha_0$  有相当的差别。这时 (30) 的结果也将和 (29) 有相当的差别, 用剪切夹层将有较大的误差。

将 (29) 式的  $m$  和荷载在基本结构上的弯矩相加, 即得各柱的弯矩。

图 3 给出对称墙等结点荷载按剪切夹层法与本文方法计算结果 (底层柱中点弯矩) 的比较, 易见, 当  $n < 16$  时, 夹层法误差较大。

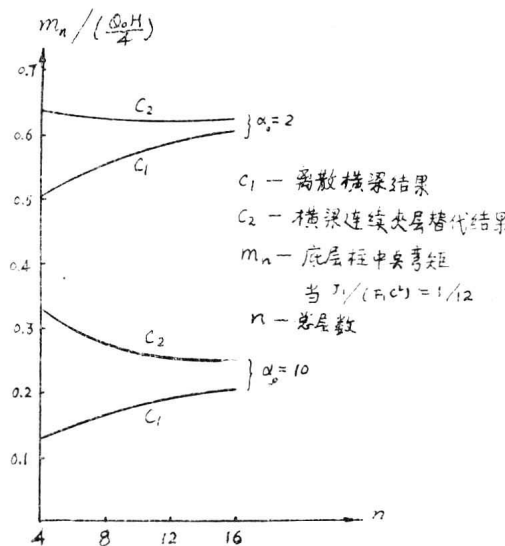


图 3

图 4 给出不对称的单列孔洞剪力墙按本文方法计算的结果。这个墙的特点是左柱 1 截面较右柱 2 截面大, 而横梁截面与右柱相同。 $\frac{J_1}{J_2} = 8$ ,  $\frac{J_2}{J_1} = 1$ 。细部尺寸如图 4 右图所示。

取  $\frac{kE}{G} \cong 2$ 。求出两柱的弯矩分布如图 4 所示。横梁弯矩零点与净跨中点距离记如  $e_0$ , 则各层  $e_0$  值各下表: (零弯点均在净跨中点右边):

从这个例子可以看出:

(1) 两柱的弯矩分布图是不相似的, 由于左柱 1 较粗, 其弯矩图越靠下层越向左偏移, 底部几层没有零弯点, 较接近悬臂梁的作用, 而右柱 2 则各层均有零弯矩点, 较接近刚架的作用。剪切夹层法假定各柱弯矩与  $J$  成比例误差太大。各柱剪力  $i$  比也和  $J$  之比不同。

(2) 各层横梁零弯点不在净跨中点, 而是偏向较弱的柱一侧, 本例的偏离大部分横梁